

# Fourier Transform of Sinc Function

## Contents

<b>1 Problem Statement and Solution</b>	<b>1</b>
<b>2 Numeric Evaluation—Gaussian Quadrature</b>	<b>2</b>
2.1 Orthogonal Polynomials . . . . .	3
2.2 General Gaussian Quadrature . . . . .	4
2.3 Adaptive Method . . . . .	4
2.4 Implementation and Test . . . . .	6

## 1 Problem Statement and Solution

问题起因在于计算积分式

$$\text{pr}_h(\Delta|\bar{c}) = \frac{1}{2\pi} \int_{-\infty}^{+\infty} \cos \Delta t \prod_{m=k+1}^{k+h} \frac{\sin \bar{c}Q^m t}{\bar{c}Q^m t} dt, \quad k \in \mathbb{N}, \quad h \in \mathbb{N}_+, \quad \bar{c}, \Delta \in (0, \infty) \quad (1)$$

如果定义余弦 Fourier 变换为

$$\mathcal{F}_c[f](\omega) \equiv \int_{-\infty}^{+\infty} f(t) \cos \omega t dt \equiv \hat{f}(\omega) \quad (2)$$

那么 Eq (1) 变为

$$\text{pr}_h(\Delta|\bar{c}) = \frac{1}{2\pi} \hat{f}(\Delta), \quad f(t) \equiv \prod_{m=k+1}^{k+h} \frac{\sin \bar{c}Q^m t}{\bar{c}Q^m t} \quad (3)$$

下面讨论如何计算 sinc 连乘积的余弦 Fourier 变化。如果定义  $a_m \equiv \bar{c}Q^{k+1+m}$ ,  $m = 0, 1, \dots, h-1$ , 那么

$$\begin{aligned} \hat{f}(\Delta) &\equiv \int_{-\infty}^{+\infty} \cos \Delta t \prod_{m=0}^{h-1} \frac{\sin a_m t}{a_m t} dt \\ &= \int_{-\infty}^{+\infty} \frac{\cos \Delta t}{(2i)^h} \prod_{m=0}^{h-1} \frac{e^{ia_m t} - e^{-ia_m t}}{a_m t} dt \\ &= \int_{-\infty}^{+\infty} \frac{\cos \Delta t}{(2it)^h} \sum_{s \in \{-1, 1\}^h} c_s e^{itb_s} dt \end{aligned} \quad (4)$$

最后一步计算连乘积时用到了排列数。这里  $s = (s_0, s_1, \dots, s_{h-1})$  是分量取值为  $\pm 1$  的  $h$  元数组。分量  $s_m = +1$  对应连乘积第  $m$  项选用  $e^{ia_m}$ , 分量  $s_m = -1$  对应连乘积第  $m$  项选用  $e^{-ia_m}$ , 这样容易算出

$$c_s = \prod_{m=0}^{h-1} \frac{s_m}{a_m}, \quad b_s = \sum_{m=0}^{h-1} s_m a_m \quad (5)$$

考虑  $\{-1, 1\}^h$  的自映射  $\phi: s_m \mapsto -s_m$ 。  $\phi$  是双射，逆映射就等于自身，而且  $c_{\phi(s)} = (-1)^h c_s$ ,  $b_{\phi(s)} = -b_s$ ,

$$\sum_{s \in \{-1, 1\}^h} c_s e^{itb_s} = \sum_{\phi(s) \in \{-1, 1\}^h} c_s e^{itb_s} = \sum_{s' \in \{-1, 1\}^h} (-1)^h c_{s'} e^{-itb_{s'}} = \sum_{s \in \{-1, 1\}^h} (-1)^h c_s e^{-itb_s} \quad (6)$$

这样 Eq (4) 就可以进一步化简,

$$\begin{aligned} \hat{f}(\Delta) &= \int_{-\infty}^{+\infty} \frac{1}{(2t)^h} \sum c_s \frac{e^{it(b_s+\Delta)} + c_s e^{it(b_s-\Delta)}}{2i^h} dt = \int_{-\infty}^{+\infty} \frac{1}{(2t)^h} \sum \frac{c_s e^{it(b_s+\Delta)} + (-1)^h c_s e^{it(-b_s-\Delta)}}{2e^{i\pi h/2}} dt \\ &= \int_{-\infty}^{+\infty} \frac{1}{(2t)^h} \sum c_s \cos[(b_s + \Delta)t - h\pi/2] dt \end{aligned} \quad (7)$$

事实上, Eq (4)-(7) 就是完成了对被积函数  $f(t) \cos \Delta t$  的恒等变形,

$$\begin{aligned} \cos \Delta t \prod_{m=0}^{h-1} \frac{\sin a_m t}{a_m t} &= \frac{1}{(2t)^h} \sum_{s \in \{-1, 1\}^h} c_s \cos[(b_s + \Delta)t - h\pi/2] \\ 2^h \cos \Delta t \prod_{m=0}^{h-1} \sin a_m t / a_m &= \sum_{s \in \{-1, 1\}^h} c_s \cos[(b_s + \Delta)t - h\pi/2] \equiv C_h(t) \end{aligned} \quad (8)$$

因为  $C_h(t)$  含有  $h$  个  $\sin$  因子, 所以  $x = 0$  是其  $h$  阶零点, 因此可以分部积分,

$$\begin{aligned} \hat{f}(\Delta) &= 2 \int_0^{+\infty} \frac{C_h(t)}{(2t)^h} dt = \frac{1}{2^{h-1}} \int_0^{+\infty} \frac{1}{h-1} \frac{C_h'(t)}{t^{h-1}} dt \\ &= \frac{1}{2^{h-1}(h-1)!} \int_0^{+\infty} \frac{C_h^{(h-1)}(t)}{t} dt = \frac{1}{2^{h-1}(h-1)!} \sum c_s (b_s + \Delta)^{h-1} \int_0^{+\infty} \frac{\sin(b_s + \Delta)t}{t} dt \\ &= \frac{\pi}{2^h(h-1)!} \sum c_s (b_s + \Delta)^{h-1} \operatorname{sgn}(b_s + \Delta) \end{aligned} \quad (9)$$

这样就得出了积分 Eq (1) 的解析表达式,

$$\begin{aligned} \operatorname{pr}_h(\Delta|\bar{c}) &= \frac{1}{2^{h+1}(h-1)!} \sum_{s \in \{-1, 1\}^h} c_s (b_s + \Delta)^{h-1} \operatorname{sgn}(b_s + \Delta) \\ c_s &= \prod_{m=0}^{h-1} \frac{s_m}{a_m}, \quad b_s = \sum_{m=0}^{h-1} s_m a_m, \quad a_m = \bar{c} Q^{k+1+m} \end{aligned} \quad (10)$$

## 2 Numeric Evaluation—Gaussian Quadrature

众所周知, 在有界闭区间  $[a, b]$  上的积分操作, 记为  $\mathcal{J}$ , 是从一致连续函数空间  $C([a, b])$  到实数域  $\mathbb{R}$  的线性运算。解析上计算积分的一般方法是求原函数, 辅助技巧包括分部积分、换元积分、逐项积分等等。缺点是技巧性太强, 无法编程实现。数值上有一类机械求积公式  $\mathcal{Q}$ , 其本质也是一种线性变换。对于多项式函数, 或者用多项式函数拟合得比较好的函数而言, 两者相差不大, 因此应用比较广泛。

$$\mathcal{Q}[f] := \sum_{k=0}^{n-1} A_k f(x_k), \quad \mathcal{R}[f] := \mathcal{J}[f] - \mathcal{Q}[f], \quad (11)$$

$(A_k), (x_k)$  分别称为求积结点和求积系数, 而求积法则  $\mathcal{Q}$  完全由此决定。 $\mathcal{R}[f]$  是积分余项, 用于衡量误差大小。一般为了保证对于多项式类似函数的误差较小, 会要求方程组

$$\mathcal{R}[x^m] = 0, \quad m = 0, 1, 2, \dots, \quad (12)$$

尽可能多的成立。如果事先给定好  $n$  个彼此互异的求积结点  $(x_k)$ ，将求积系数  $(A_k)$  看作变量，那么一些简单的代数知识告诉我们，Eq (12) 中前  $n$  个方程同时成立时，系数矩阵行列式不为零，解是唯一存在的。如果要求结点  $(x_k)$  是在  $[a, b]$  上均匀分布，联立 Eq (12) 前  $n$  个方程组并求解就可得出  $(A_k)$ 。这样给出的求积法则 Eq (11) 称作 Newton-Cotes 求积公式。因为直到  $x^{n-1}$  次方，Newton-Cotes 公式的误差都为零，即精确成立，所以称其具有至少  $n-1$  次代数精度。但若将求积结点  $(x_k)$  也看作未知量，那么 Eq (12) 中前  $2n$  个方程同时成立也是很有可能的。Gauss 求积公式就做到了这一点，通过选择结点  $(x_k)$  为  $n$  阶正交多项式  $p_n$  的零点，保证了其代数精度至少为  $2n-1$ 。在一般性地讨论正交多项式之前，先举一个最常用的例子，Legendre 多项式，作为引入。

$$P_n = \frac{1}{2^n n!} \frac{d^n}{dx^n} [(x^2 - 1)^n], \quad n = 0, 1, 2, \dots, \quad (13)$$

是一种比较方便的 Legendre 多项式的表示方法。容易看出  $P_n$  是最高次项为  $x^n/(2^n n!)$  的多项式，而且具有明确的奇偶性。这里主要关注的是在区间  $[-1, 1]$  上的正交性。对于函数  $f, g \in C([-1, 1])$ ，可以定义内积为  $(f, g) := \mathcal{J}[fg]$ ，积分区间取为  $[-1, 1]$ 。如果记  $\Phi(x)_n := (x^2 - 1)^n/(2^n n!)$ ，那么有  $\mathcal{J}[P_n P_m] = \mathcal{J}[\Phi_n^{(n)} \Phi_m^{(m)}]$ 。因为  $-1, 1$  是  $\Phi_n$  的两个  $n$  重根，所以  $-1, 1$  也是  $\Phi_n^{(n-k)}$  的  $k$  重根。反复利用分部积分可知 (不妨设  $m \leq n$ )

$$(P_n, P_m) = \mathcal{J}[\Phi_n^{(n)} \Phi_m^{(m)}] = \dots = \mathcal{J}[(-1)^k \Phi_n^{(n-k)} \Phi_m^{(m+k)}] = \dots = \mathcal{J}[(-1)^m \Phi_n^{(n-m)} \Phi_m^{(2m)}], \quad (14)$$

因为  $\Phi_m$  是  $2m$  次多项式，所以积分中后一项为常数。如果  $m < n$ ，那么  $-1, 1$  是  $\Phi_n^{(n-m)}$  的原函数的  $m+1$  重根，即积分等于零。如果  $m = n$ ，那么 Eq (14) 化为

$$\begin{aligned} (P_n, P_n) &= \mathcal{J}[(-1)^n \Phi_n \Phi_n^{(2n)}] = \int_{-1}^1 \frac{(-1)^n (2n)!}{(2^n n!)^2} (x^2 - 1)^n dx = \frac{(2n-1)!!}{(2n)!!} 2 \int_0^1 (1-x^2)^n dx \\ &= \frac{(2n-1)!!}{(2n)!!} 2 \int_0^{\pi/2} \cos^{2n+1} \theta d\theta = \frac{(2n-1)!!}{(2n)!!} 2 \frac{(2n)!!}{(2n+1)!!} = \frac{2}{2n+1} \end{aligned}, \quad (15)$$

## 2.1 Orthogonal Polynomials

一般地，如果在  $\{1, x, x^2, \dots\}$  张成的无限维线性空间  $H_\infty$  上定义了内积，则称  $(p_k)_{k=0}^\infty$  为正交多项式族，如果  $p_k$  是  $k$  次多项式，且彼此正交。需要注意的是，一旦内积定义完成，那么正交多项式也就完全确定了 (在首项系数取为一的情形下)。因为  $p_0 \equiv 1$  总是成立的，设  $p_1 = x + a_0$ ，那么只要根据正交关系  $(p_1, p_0)$  就可以求出待定系数，从而得到  $p_1$ 。一般来说，除去首项， $n$  次正交多项式  $p_n$  有  $n$  个待定系数而通过与  $p_0, p_1, \dots, p_{n-1}$  正交关系可以完全确定这些系数，所以内积完全决定了正交多项式。从这个意义上说，如果定义  $H_\infty$  上的内积  $(f, g)$  为  $fg$  在区间  $[-1, 1]$  上的积分，那么得到的正交多项式就是 Legendre 多项式，满足表达式 Eq (13)。

考虑  $\{1, x, x^2, \dots, x^m\}$  张成的  $m+1$  维线性空间  $H_m$ ，从正交性容易看出  $\{p_0, p_1, \dots, p_m\}$  线性无关，所以其是  $H_m$  的一组基， $x^m$  可由其线性表出。另一方面，如果  $n > m$ ，那么从正交性看出  $p_n$  和  $H_m$  的一组基正交，即  $n$  次正交多项式  $p_n$  和任何次数严格低于  $n$  的多项式正交。特别地， $(p_n, 1) = 0$ 。这说明  $p_n$  在被积区间上必然变号。设  $p_n$  的  $n$  个根为  $(x_k)$ ，那么可以断言  $(x_k)$  必然全部落在被积区间内。否则，如果只有  $m < n$  个根  $(x_i)_{i \in I}$  在被积区间内，那么  $p_n \cdot \prod_{i \in I} (x - x_i)$  在被积区间内不变号，与  $p_n$  正交于  $m$  次多项式  $\prod_{i \in I} (x - x_i)$  的结论矛盾。利用这种方法还可以证明所有的零点都是单根，而且不会出现在边界上。

## 2.2 General Gaussian Quadrature

一旦了解到这些关于正交多项式的简单性质，那么  $n$  个结点的 Gauss 求积公式 Eq (11) 能达到至少  $2n - 1$  的代数精度也就不难理解了。假设要求的是两个函数  $f, \omega$  在闭区间  $[a, b]$  上的积分，

$$\mathcal{I}[f] := \int_a^b f(x) \cdot \omega(x) dx, \quad (16)$$

引入函数  $\omega$  的目的就是尽量保证  $f$  能用多项式函数很好的近似，毕竟我们知道，对很多初等函数，比如指数函数和三角函数，用多项式近似的效果并不好。然后定义  $\mathbf{H}_\infty$  上的内积为  $(f, g) = \mathcal{I}[fg]$ 。一般我们要求  $\omega \in C([a, b])$ ，且在被积区间上不变号，因为这样可以保证  $\mathcal{I}[fg]$  确实是一个内积。而根据之前的介绍，内积可以引出正交多项式族  $(p_n)$ 。取  $n$  个求积结点  $(x_k)$  为  $n$  次正交多项式的  $p_n$  零点 (从前面分析知， $p_n$  的零点确实尽数落在  $[a, b]$  上)。取  $n$  个求积系数  $(A_k)$  为 Eq (12) 中前  $n$  个方程联立的解 (解总是存在的)。那么求积公式  $\mathcal{Q}$  至少具有  $n - 1$  次代数精度，即对  $\mathbf{H}_{n-1}$  中的所有多项式都精确成立。更进一步，因为求积结点是  $p_n$  的根，所以  $\mathcal{Q}[x^m p_n]$  总等于零。如果  $m < n$ ，那么从正交性看出  $\mathcal{I}[x^m p_n]$  也等于零，说明对  $x^m p_n$  形式的多项式，Gauss 求积公式  $\mathcal{Q}$  总是精确成立的。一点简单的代数知识告诉我们，任给  $2n - 1$  次多项式  $f \in \mathbf{H}_{2n-1}$ ，可以用  $p_n$  作多项式除法

$$f = hp_n + r, \quad h, r \in \mathbf{H}_{n-1}, \quad (17)$$

因为对  $hp_n$  和  $r$  而言， $\mathcal{Q}$  都是精确成立的，所以对  $\mathbf{H}_{2n-1}$  中任何多项式  $f$  而言， $\mathcal{Q}$  都是精确成立的。自然就有 Gauss 求积公式具有至少  $2n - 1$  次代数精度。根据区间  $[a, b]$  和  $\omega$  (称为权函数) 的不同，Gauss 积分有许多变种 (Wiki: Gaussian Quadrature)，使用时一般要预先利用换元等技巧将待求积分写成 Eq (16) 的形式。然后查表确定正交多项式种类，再确定  $(A_k), (x_k)$ 。需要说明的是，真正计算求积系数和求积结点的实用算法比较复杂，和这里给出的构造方法有很大区别。一种办法是根据正交多项式的三项递推关系，将求根问题转化成求某个三对角矩阵特征值，然后用 QR 分解的办法计算<sup>1</sup>。

Interval	weight function	Orthogonal Polynomials	Name
$[-1, 1]$	1	Legendre Polynomials	Gauss-Legendre Qaudrature
$(-1, 1)$	$(1-x)^\alpha(1+x)^\beta, \alpha, \beta > -1$	Jacobi Polynomials	Gauss-Jacobi Qaudrature
$[0, \infty)$	$x^\alpha e^{-x}, \alpha > -1$	Laguerre Polynomials	Gauss-Laguerre Qaudrature
$(-\infty, \infty)$	$e^{-x^2}$	Hermite Polynomials	Gauss-Hermite Qaudrature

## 2.3 Adaptive Method

积分计算的一大难点在于被积函数的形式千变万化，难以用一个统一的形式去描述。Gauss 求积公式 Eq (11) 可以理解为用有限个特定的结点  $(x_k)$  处的函数值来刻画函数。当然，这种简化办法不能应对所有的情形。毕竟，被积函数的定义域是一整段区间，有限个点处的取值并不能完全代表一个函数。一种办法是不断增加结点的数量，让考察的函数值足够多。理论上可以证明，在  $n \rightarrow \infty$  时，Gauss 求积公式给出的结果收敛于待求积分值。但困难在于，求积系数  $(A_k)$  和结点  $(x_k)$  的计算也不简单，一般都是预先算好后直接作为常数写入程序的。而没有一种好的办法做到将无穷多种可能用到的  $(A_k), (x_k)$  全部输入到程序中。通过提高代数精度的办法得到的序列收敛速度也没有保证。

另一种办法是将分割被积区间，用数个子区间上的积分和来近似原区间上的积分。但如何分割区间也是一个问题。可以人为给定分割办法，比如均分为指定个等长的子区间。但更好的办法是让

<sup>1</sup>Gene H. Golub and John H. Welsch. *Calculation of Gauss Quadrature Rules*. Tech. rep. Stanford, CA, USA, 1967.

程序借助某个标准自行判断。假设  $Q(f, a, b)$  是一个数值积分的程序，返回两个数值  $i, e$ ，前者是  $f$  在区间  $[a, b]$  上的积分估计值，而后者是误差大小的估计。这种估计不一定要十分精确，只需要大致保证  $e$  和实际误差正相关就好。比如，假设  $Q_n^{GL}, Q_n^{GL}$  是两个不同阶数的 Gauss-Legendre 求积公式，那么可以令  $i$  等于高阶公式给出的结果，而令  $e$  等于高阶与低阶结果之差的绝对值。这样，当计算在某个子区间  $[a_i, b_i]$  上的积分时，可以通过返回值  $e$  的大小为标准来判断是否需要继续细分。这样的积分算法称为 (Local) Adaptive Quadrature。用 Python 代码可以写为，

### Local Adaptive Quadrature

```

1 def QA(f, a, b, eps):
2     i, e = Q(f, a, b)
3     if e < eps:
4         return i
5     else:
6         m = (a+b)/2
7         return QA(f, a, m, eps/2) + QA(f, m, b, eps/2)

```

和基本的积分算法  $Q$  相比，适应型积分  $QA$  多出一个控制参数  $eps$ 。如果估计误差  $e$  小于  $eps$ ，则返回当前积分，否则，对半分割区间后递归计算。称其为局域适应算法的原因在于 **Line 7**，当被积区间减半后，允许误差  $eps$  也要减半，即相当于要求误差与区间长度的比值要小于某个给定值。对有些函数而言，这种标准有时可能难以达到。经常碰见的情形是，函数在定义域的某一小段区间上行为不好，估计误差的下降不如区间长度减半的速度，导致程序不停地尝试细分这段区间，消耗大量计算资源甚至直接崩溃。相比之下，有时全局的适应算法可以避免这种情况的出现。全局算法的思想是控制划分区间的顺序，优先对估计误差最大的区间进行细分。这样做的好处在于容易控制计算深度，比如最多只划分 50 次后就停止计算，直接返回所有子区间的积分之和。

### Global Adaptive Quadrature

```

1 def QA(f, a, b, eps):
2     astack = EmptyStack()
3     max_depth = 50
4
5     # initialize astack with [a,b]
6     itv = [a,b]
7     itg, err = Q(f, a, b)
8     astack.push(Triple(itv, itg, err))
9
10    # main lopp
11    while astack.length <= max_depth:
12        if astack.sum_err() < eps:           # exit condition
13            return astack.sum_itg()
14
15        itv, itg, err = astack.get_triple_with_largest_err()
16
17        # refine interval
18        _a, _b = itv
19        _m = (_a + _b)/2
20        itg1, err1 = Q(f, _a, _m)
21        itg2, err2 = Q(f, _m, _b)
22
23        # update stack

```

```

24         astack.remove(Triple(itv, itg, err))
25         astack.push(Triple([_a, _m], itg1, err1))
26         astack.push(Triple([_m, _b], itg2, err2))
27
28     return -1 # won't happen usually

```

首先，为了方便控制递归的深度，以及选择如何划分区间，可以通过显示地构造一个『栈』型数据结构 `astack` 来存储计算数据，将程序转换成非递归的结构 (Line 2)。栈 `astack` 中存储的数据是三元数组 `triple`，包含的数据分别为：子区间 `itv`，积分估计值 `itg` 和误差估计值 `err` (Line 8)。当栈显示误差之和小于给定 (全局) 误差上界 `eps` 时，停止计算，返回栈中积分之和 (Line 12, 13)。否则，找到误差估计最大的子区间，并对其细分 (Line 18–24)。

无论是局域适应算法还是全局适应算法，实质上都只是对基本积分算法 `Q` 的封装，并不涉及实际的积分计算。但  $Q(f, a, b)$  具体要如何实现呢？到底如何去估计或者说衡量误差大小？在前面已经提到，可以用两个不同阶的 Gauss 求积公式，比如  $n$  结点和  $n+1$  结点的公式，结果之差的绝对值  $|Q_n^{\text{GL}} - Q_{n+1}^{\text{GL}}|$  作为误差估计值。只是，一般来说，正交多项式  $p_n, p_{n+1}$  的零点并不重合。也就是说，这样的效果相当于总共考虑  $n + (n+1)$  个点处的函数值，而实际代数精度却只有  $2n+1$  (因为返回值为  $Q_{n+1}^{\text{GL}}[f]$ )。为了有效利用结点处函数值，Kronrod 引入了另一种积分公式，

$$Q[f] = \sum_{\nu=0}^{n-1} \sigma_{\nu} f(x_{\nu}) + \sum_{\mu=0}^n \sigma_{\mu}^* f(x_{\mu}^*), \quad (18)$$

选择  $(x_{\nu})$  为区间  $[a, b]$  上关于权函数  $\omega$  的  $n$  次正交多项式  $p_n$  的零点，选择  $(x_{\mu}^*)$  为  $n+1$  次 Stieltjes 多项式  $E_{n+1}$  的零点，并令  $2n+1$  个权系数  $(\sigma_{\nu}), (\sigma_{\mu}^*)$  为 Eq (12) 中前  $2n+1$  个方程的解，那么遵循前面推导 Gauss 求积公式 Eq (11) 的方法，可以证明 Eq (18) 的代数精度可以达到  $3n+1$ 。关键利用在于 Stieltjes 多项式  $E_{n+1}$  的如下性质 (或者说定义)<sup>2</sup>

$$\mathcal{J}[x^m p_n E_{n+1}] = (x^m, p_n E_{n+1}) = 0, \quad m = 0, 1, \dots, n, \quad (19)$$

如果将求积公式 Eq (18) 记为  $Q_{2n+1}^{\text{GK}}$ ，那么以  $|Q_{2n+1}^{\text{GK}} - Q_n^{\text{GL}}|$  做误差估计值，以  $Q_{2n+1}^{\text{GK}}$  做积分估计值，最终效果是用  $2n+1$  个点处的函数值达到了  $3n+1$  的代数精度。这种积分方法称为 Gauss-Kronrod Quadrature。更多估计误差的方法可以参考相关文献<sup>3</sup>。

## 2.4 Implementation and Test

这里实现了两种数值积分算法。一种是非适应算法 `QNGL`，将区间 `itv` 等分为 `dvs` 份后，在每个小区间上应用 30 点 Gauss-Legendre 求积公式 Eq (11)。一种是适应算法 `QAGK`，以 15 点 Gauss-Kronrod 求积公式 Eq (18) 及相应的误差估计方法为基础积分算法，应用 `Global Adaptive Quadrature` 的框架计算积分，可接受控制参数 `eps`, `lmt`，分别为最大允许误差和最大允许迭代次数。求积系数和求积结点数据来自网站 `ADVANPIX`。测试结果格式如下，

### Output Format

```

1     integrand: xto29
2     interval: [0, 1]

```

<sup>2</sup>Franz Peherstorfer. "Stieltjes polynomials and functions of the second kind". In: 65.1 (1995), pp. 319–338.

<sup>3</sup>Pedro Gonnet. *A Review of Error Estimation in Adaptive Quadrature*. 2010.



```

3      quad rule: mquad
4      n evaluation:      189      (total of 3 times)
5      time per call: 0.00003982 sec (best of 3 times)
6      integral, err: 0.03333333, 0.00000000
7      ref: 0.03333333, 0.00000000
8      add info: None

```

这里主要考察的是运行时间 (Line 5) 以及计算函数在某点处值的次数 (Line 4)。Line 7, 8 分别是算法给出的积分估计值, 误差值, 和理论给出的积分值, 估计值和理论值的绝对误差。QNGL 和 QAGK 的测试结果表明, 无论是指数函数  $e^{-x}, (-\infty, 0)$ , 还是三角函数  $\sin x, [0, \pi/2]$ , 以及多项式函数  $x^{29}, [0, 1]$ , 理论值与实际值的误差都在  $10^{-9}$  以内。

最后是对积分式 Eq (1) 的计算。为了更有参考价值, 除去 QNGL, QAGK, 这里还实现了另外两种计算积分的办法。一种方法基于前面解析得出的 Eq (10)。为了避免舍入误差过大, 需要对计算方法做一些微调,

$$\text{pr}_h(\Delta|\bar{c}) = \frac{\sum c_s (b_s + d)^{h-1} \text{sgn}(b_s + d)}{2^{h+1}(h-1)! \bar{c} Q^{k+1} \prod a_m}, \quad d = \frac{\Delta}{\bar{c} Q^{k+1}} \in (0, +\infty), \quad s = (s_0, s_1, \dots, s_{h-1}) \in \{-1, 1\}^h,$$

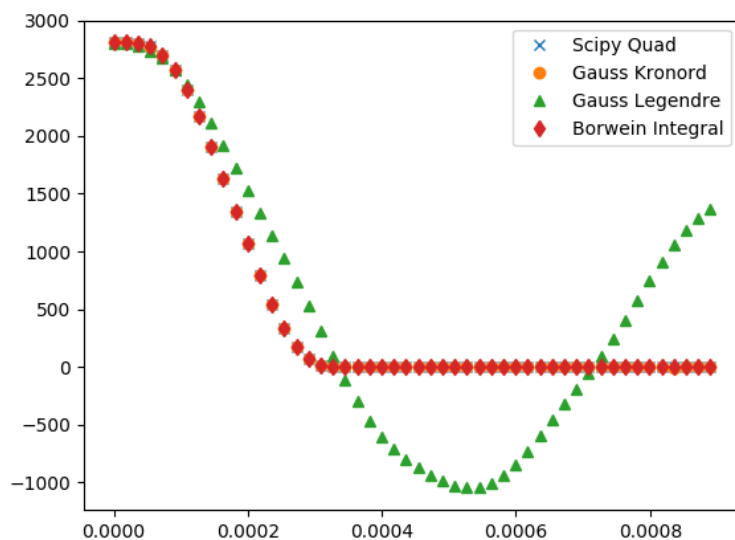
$$a_m = Q^{m-1}, \quad b_s = \sum_{m=0}^{h-1} s_m a_m, \quad c_s = \prod_{m=0}^{h-1} s_m. \quad (20)$$

比较关键的一点在于通过换元积分将  $\Delta, \bar{c}$  整合为一个常数  $d$ 。根据 Fourier 变化的一些知识, 可以断言  $d > \sum Q^m$  时, 积分是等于零的<sup>4</sup>。大致来说可以这样理解, 因为整个积分可以看作  $\prod \text{sinc} \bar{c} Q^{k+1+m} t$  的 FCT 在  $\Delta$  处的函数值。而根据卷积定理, 这等于  $h$  个  $\text{sinc} \bar{c} Q^{k+1+m}$  的 FCT 的卷积在  $\Delta$  处的值。因为  $\text{sinc} \bar{c} Q^{k+1+m} t$  的 FCT 在区间  $[-\bar{c} Q^{k+1+m}, \bar{c} Q^{k+1+m}]$  之外恒等于零。而容易看出, 如果  $f, g$  分别只在  $[-a, a], [-b, b]$  上不为零, 那么  $f$  与  $g$  的卷积必然只在  $[-a-b, a+b]$  上不为零。所以用数学归纳法可以看出当  $\Delta > \sum \bar{c} Q^{k+1+m}$  时, 积分必然为零。

另一种办法是利用 Python 的科学计算库 SciPy 提供的数值积分方法 `nquad`, 其内部调用的是 FORTRAN QUADPACK 库 (文档链接), 实现方法类似全局适应型 Gauss-Kronrod 求积公式, 但使用了特殊的加速方法。

另外, 前面实现的 QNGL, QAGK 都只能处理有界区间的情形, 直接计算 Eq (1) 之前要先进行换元, 将无界区间映射到有界区间。这里采用的办法是先利用对称性将积分区间变为  $[0, \infty)$ , 然后使用变换  $t = 1 - 1/x$ , 将被积区间转换为  $[0, 1]$ 。注意, 因为原被积函数在无穷远处极限存在, 所以换元后的积分区间可以是闭的, 即端点不是奇点 (否则应当使用 Jacobi 正交多项式)。

<sup>4</sup>David Borwein and Jonathan M. Borwein. "Some Remarkable Properties of Sinc and Related Integrals". In: *The Ramanujan Journal* 5.1 (Mar. 2001), pp. 73–89.



上图是固定  $\bar{c}, Q, k, h$  分别为  $.01, .511, 5, 10$  后，积分值  $pr_h(\Delta|\bar{c})$  在区间  $[0, .05Q^{k+1}]$  上的函数图像。可以看出非适应的 Gauss-Legendre 求积公式在  $\Delta$  变大后越来越不准确，而两种适应算法和解析公式的结果符合的很好，三条线几乎完美重合，其中又以 QAGK 和 nquad 最为接近，是解析公式 Eq (20) 到后者的距离的 1/3 左右。

实现代码见链接 [Gaussian-Quadrature](#). gaussquad.py 是实现了积分算法 QNGL, QAGK, driver.py 用于测试和分析算法速度和误差，practice.py 用于比较四种计算目标积分的方法，并完成绘图。